

11,12

## Основное состояние упругопериодической цепочки атомов в периодическом потенциале произвольной формы

© А.К. Абкарян<sup>1</sup>, А.Ю. Бабушкин<sup>1</sup>, Б.С. Добронец<sup>1</sup>, В.С. Красиков<sup>1</sup>, А.Н. Филонов<sup>2</sup>

<sup>1</sup> Сибирский федеральный университет, Институт космических и информационных технологий, Красноярск, Россия

<sup>2</sup> Институт цветных металлов им. М.И. Калинина, Красноярск, Россия

E-mail: anfilonov@rambler.ru

(Поступила в Редакцию 23 апреля 2015 г.  
В окончательной редакции 28 июля 2015 г.)

Исследовано основное состояние упругопериодической цепочки атомов в периодическом потенциале. Построены зависимости относительного растяжения цепочки и ее потенциальной энергии от параметра несоразмерности. Точные решения отличаются от решений в континуальном приближении  $P$ -симметрией и меньшими размерами областей соразмерных фаз.

### 1. Введение

Основное состояние большинства физических систем низкой размерности формируется конкуренцией объемных и поверхностных сил, но имеются исключения. Уникальный пример поверхностной системы — упругопериодическая цепочка атомов (цепочка Гука). Благодаря межатомной силе Гука любое воздействие на граничный атом приводит к одинаковому изменению периода на всей цепочке. С другой стороны, цепочка Гука, помещенная во внешний потенциал с тем же периодом и амплитудой  $V_0 > 1$  (упругая константа выбрана равной 1), является объемной системой. Изменение координаты граничного атома не приводит к заметным изменениям координат внутренних атомов, сгруппированных вблизи минимумов потенциала. Промежуточный случай  $V_0 < 1$  из-за неоднородных решений типа дислокаций [1] сложен для анализа, но именно он самый интересный. Рассматриваются следующие модели:

1. Модель Френкеля–Конторовой (ФК-модель) — цепочка Гука во внешнем монохроматическом потенциале с амплитудой  $V_0 \ll 1$ .

2. Развитая модель Гука (РМГ-модель) — цепочка Гука в периодическом потенциале с произвольными формой, амплитудой и периодом. Как оказалось, в отдельных случаях необходимо разделять описание ФК- и РМГ-систем. Вклад граничных атомов и дискретности в решения этих моделей изучен недостаточно полно. В большинстве своем исследователи описывают случай  $N = \infty$ , полагая, что вкладом граничного атома можно пренебречь. Мы считаем, что такое предположение ошибочно, т.к. положение всех атомов одномерной системы жестко связано с положением любого из них через уравнения равновесия. Уравнения равновесия для граничных атомов не совпадают с уравнениями равновесия внутренних атомов. Представляет интерес на примерах точных решений ФК-, РМГ-моделей понять, в какой мере дискретность и граничные условия способны

повлиять на результаты анализа, проведенного без их учета. Рассматриваемые модели ведут свое начало от работы Френкеля–Конторовой [1], описавшей движущуюся дислокацию. Актуальность [1] в настоящее время бесспорна [2] (сотни статей и книг по ее мотивам только за последние годы). В дальнейшем [2, 3] ФК-модель стала востребованной при описании пространственно модулированных структур и в нее введен параметр  $\delta$ , характеризующий несоразмерности периодов цепочки и внешнего потенциала.

В [3] получено пороговое решение для основных фаз ФК-модели в континуальном приближении: при  $|\delta| < \delta_c$ ,  $\delta_c = \frac{4}{\pi} \sqrt{V_0}$  реализуется однородное состояние, если  $|\delta| > \delta_c$ , то пространственно модулированное состояние дислокационного типа. Там же приведено решение для основного состояния с параметрами несоразмерности вблизи  $\delta = 0.5$ , из которого следует, что в интервале  $|\delta - 0.5| < \delta_c^2$  в системе выделяются две подрешетки.

РМГ-модель с параметрами несоразмерности вблизи  $\delta = \frac{m}{n}$  исследовалась в [4,5]. Добавление мод в потенциал ФК-модели приводит к тому, что интервалы областей с подрешетками значительно уширяются,  $|\delta - \frac{m}{n}| < \frac{\delta_c}{\sqrt{n}} \gg \delta_c^2$ .

Параметр несоразмерности  $\delta$  эквивалентен дополнительной силе Гука, растягивающей ее концы. Удобно рассматривать РМГ-модель [4,5] как цепочку Гука, на концы которой действует растягивающая сила, цепочка погружена в периодический потенциал. При таком рассмотрении становится очевидным, что для пространственно симметричных потенциалов центр масс цепочки в основном состоянии фиксирован. Он находится на ее середине, и дислокации образуются парами. Следствием этого является ошибочность заявления [2] о возможности основного состояния с одной дислокацией.

Полученное в [1] решение не удовлетворяет граничному уравнению равновесия, поэтому существует вопрос, насколько кардинально выводы дискретных моделей в континуальном приближении [1–3] могут отличаться

от точных решений, с учетом границ и дискретности. Нахождение численно точных выражений для основных состояний ФК-, РМГ-моделей служит началом обсуждения вопроса об их динамике.

## 2. Основное состояние РМГ-модели

Нас интересует основное состояние одномерной упругопериодической цепочки из  $N + 1$ -го атома с периодом  $M + \delta$  в периодическом потенциале  $V(x)$  с полным потенциалом

$$U = \sum_{n=0}^{n=N-1} \left[ \frac{1}{2} (u_{n+1} - u_n)^2 + V(Mn + n\delta + u_n) \right] + V(u_N + MN + N\delta), V(x + 1) = V(x), \quad M=0, 1, \dots, \quad (1)$$

где  $u_n$  — отклонение от исходного положения равновесия  $n$ -го атома цепочки. После замены  $\varphi_n = u_n + n\delta$  получаем

$$U = \sum_{n=0}^{n=N-1} \left[ \frac{1}{2} (\varphi_{n+1} - \varphi_n)^2 + V(\varphi_n) \right] + V(\varphi_N) - \delta(\varphi_N - \varphi_0) + \frac{\delta^2}{2} N. \quad (2)$$

Уравнения равновесия для  $N$ -го и  $0$ -го атомов имеют вид

$$\varphi_N - \varphi_{N-1} - \delta + V'(\varphi_N) = 0, \\ \varphi_0 - \varphi_1 + \delta + V'(\varphi_0) = 0. \quad (3)$$

Уравнения равновесия для внутренних атомов записываются в виде

$$2\varphi_n - \varphi_{n-1} - \varphi_{n+1} + V'(\varphi_n) = 0, \quad 0 < n < N. \quad (4)$$

Потенциальная энергия (2) инвариантна относительно замены:  $\delta$  на  $-\delta$ ,  $\varphi_n$  на  $-\varphi_n$ . Из-за нечетной симметрии РМГ-системы в основном состоянии  $U(-\delta) = U(\delta)$ .

Ранее [3–6] анализ ФК-, РМГ-моделей проводился в струнном (континуальном) приближении, когда дискретная переменная  $n$  меняется на непрерывную  $x$ , сумма на интеграл и (2) принимает вид

$$U = \int_0^N \left[ \frac{1}{2} \left( \frac{d\varphi}{dx} - \delta \right)^2 + V(\varphi) \right] dx; \\ V(\varphi + 1) = V(\varphi); \quad \varphi(0) = 0. \quad (5)$$

В результате простого, но рискованного перехода (2–5), дискретная цепочка атомов становится непрерывной струной, что с математической точки зрения оставляет много вопросов, т.к. величине дифференциала  $dx$  соответствует 1.

Основное состояние (5) находится из уравнений

$$\frac{d^2\varphi}{dx^2} = v'(\varphi); \\ \frac{1}{2} \left( \frac{d\varphi}{dx} \right)^2 = V(\varphi) + C; \quad \frac{d\varphi}{dx} = \sqrt{2(V(\varphi) + C)}; \\ a = \int_0^1 \frac{d\varphi}{\sqrt{2(C + V(\varphi))}}, \quad (6)$$

где  $C$  — константа интегрирования,  $a$  — период дислокационной лестницы, с высотами ступеней, равными 1.

Из (6) следует, что  $C \geq -V_{\min}$ . Из условия минимума (5) по  $a$  имеем

$$\int_0^1 \sqrt{2(V(\varphi) + C)} d\varphi = \delta; \quad \frac{U}{N} = \frac{\delta^2}{2} - C; \quad \delta > \delta_c; \\ \delta_c = \int_0^1 \sqrt{2(V(\varphi) - V_{\min})} d\varphi. \quad (7)$$

Основное состояние РМГ-модели в струнном приближении имеет вид

$$\begin{cases} \text{при } |\delta| < \delta_c, \varphi(x) \equiv 0 \text{ — соразмерная фаза} \\ \text{при } |\delta| > \delta_c, \varphi(x) = \text{лестница дислокаций (6)} \\ \text{— несоразмерная фаза.} \end{cases} \quad (8)$$

Параметром порядка является относительное удлинение  $\frac{\varphi_N}{N}$ , которое для цепочек с фиксированными концами и аналитическими потенциалами  $V(\varphi)$  в точке  $\delta = \delta_c$  имеет логарифмическую особенность [3]

$$\frac{\varphi_N}{N} \xrightarrow[\delta \rightarrow \delta_c+0]{N \rightarrow \infty} \frac{\text{const}}{|\ln(\delta - \delta_c)|}. \quad (9)$$

Как показано в [4], решения для цепочек со свободными концами в прямоугольно-периодических потенциалах РМГ-модели особенностью (9) не обладают. Представляет интерес выяснить, какой из вариантов континуального приближения ближе к численно точным дискретным решениям с аналитическими потенциалами  $V(\varphi)$  и свободными концами цепочки.

Ранее [2,3] граничные условия стационарности (3) не принимались во внимание, а это означает закрепленность внешними силами  $0$ - и  $N$ -атома цепочки и, следовательно, невозможность для параметра несоразмерности быть константой. Неопределенность  $\delta$  приводит к большому сомнению в правильности решений (6–9) и их адекватности заявленной модели. Если же граничные атомы свободны, то константу  $C$  следует находить не только из минимума  $U$ , но и из граничного условия (3–6)

$$C = \frac{(\delta - V'(\varphi_N))^2}{2} - V(\varphi_N); \\ \frac{U}{N} = V(\varphi_N) + V'(\varphi_N) \left( \delta - \frac{V'(\varphi_N)}{2} \right). \quad (10)$$

Таким образом, РМГ-модель в континуальном приближении обладает двумя основными фазами — соразмерной и несоизмерной, переход между которыми непрерывен.

В дискретной модели (2) с аналитическим потенциалом  $V(\varphi)$  четной симметрии, точное решение для основного состояния соразмерной фазы имеет нечетную симметрию относительно центра цепочки и его несложно найти. После приведения (3,4) к виду, линейному по  $\varphi$ , имеем

$$\varphi_{\frac{N}{2}} \equiv 0; \quad \varphi_{\frac{N}{2}+n} = -\varphi_{\frac{N}{2}-n};$$

$$\varphi_{\frac{N}{2}+n+1} = q_n \varphi_{\frac{N}{2}+n}; \quad \varphi_N = \frac{\delta}{\left(q - 1 - \frac{1}{q^{\frac{N}{2}-1}}\right)};$$

$$q_{n+1} = q - \frac{1}{q_n}, \quad q = q_1 = 2 + V''(0), \quad n = 1, 2, \dots, \frac{N}{2}. \tag{11}$$

Несоизмерная фаза РМГ-модели в континуальном приближении описывается потенциалом  $U_1$

$$U_1 = U_c + W(N, K, \delta) + K\delta_c - K\delta; \quad W(N, 1, \delta) = 0;$$

$$U_c = (N + 1)V(0) + \frac{\delta^2}{2} N, \tag{12}$$

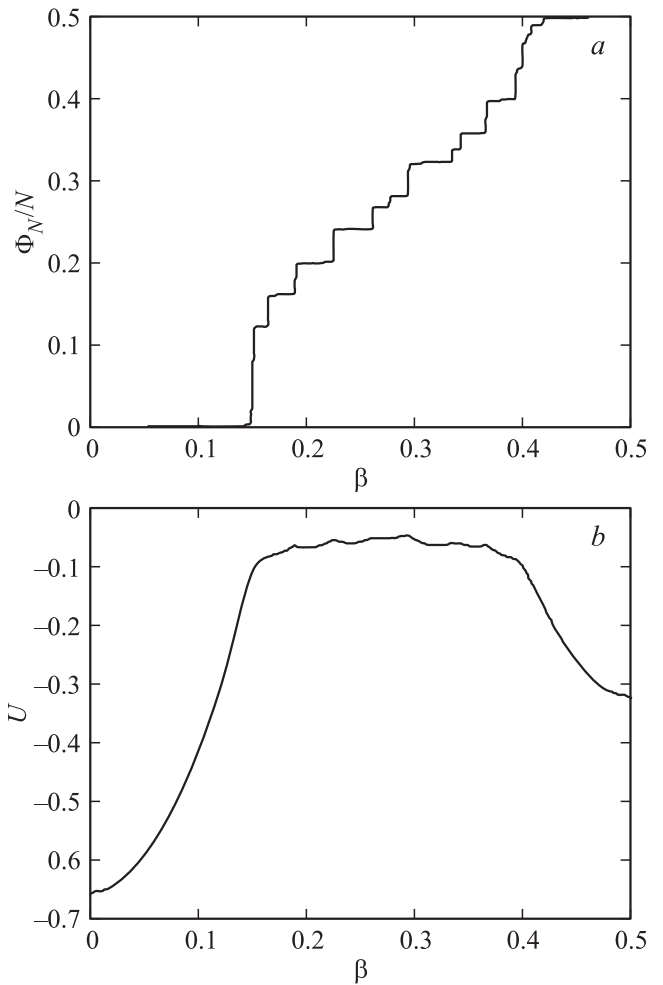
где  $U_1$  — энергия несоизмерной фазы с  $K$ -дислокациями в континуальном приближении.  $U_1$  распадается на: 1. Энергию соразмерной фазы  $U_c$ . 2. Энергию  $K$  покоящихся дислокаций  $K\delta_c$ . 3.  $W(N, K, \delta)$  — энергии взаимодействия между дислокациями и (4), сдвиговый член из уравнения (2) ( $-K\delta$ ).

Из (12) следует, что переход по параметру  $\delta$ , соразмерная-несоразмерная фаза, непрерывен и происходит при  $\delta = \delta_c$ . Дислокации отталкиваются, т.к.  $W'_K = \delta - \delta_c > 0$ .

Поскольку задача точного нахождения координат атомов цепочки дискретной РМГ-модели аналитически трудно решается, то ее следует решать методами дискретной математики, т.е. численно. Предлагаем следующий алгоритм численного моделирования: через текущую координату  $\Phi(N)$  граничного  $N$ -атома уравнениями стационарности (3,4) выражаются координаты остальных атомов цепочки, после чего находится минимум потенциальной энергии (2) при  $\varphi_N = \Phi_N$ . Начальное положение  $\varphi(0)$  удобно сначала фиксировать интервалом  $|\varphi(0)| \leq 0.5$ , а затем проверить тождество для дробной части  $\Phi_N$ ,  $\{\Phi_N\} \equiv -\varphi(0)$ . При исследовании областей соразмерных фаз (11) шаг итераций  $\varphi_N$  определяется формулой  $h_c = \delta q^{-N}$ . Гипотеза о  $P$ -инвариантности основного состояния РМГ-модели подтверждена всеми численными экспериментами.

### 3. Численные эксперименты

С учетом проведенного теоретического анализа продолжены исследования, инициированные в [7]. Суть



$a$  — зависимость относительного удлинения цепочки  $\frac{\Phi_N}{N}$  от параметра несоизмерности  $\beta$ ,  $\beta \equiv \delta$ .  $b$  — зависимость потенциальной энергии цепочки  $U$  от параметра несоизмерности  $\beta$ ,  $\beta \equiv \delta$ .

опытов заключалась в последовательном „отгадывании“, с увеличением  $N$  от 1 до 30, значений  $\Phi_{N=30}$ , предварительно фиксируя  $\delta$  в интервале  $[0, 0.5]$ .

Первоначально построены два графика основных состояний ФК-, РМГ-моделей с пятьюдесятью точками на каждом. Но в дальнейшем, используя  $P$ -симметрию РМГ-модели, удалось построить на рисунке (а, б) график с 500 точками, совпадающий качественно с первоначальным.

В экспериментах использовались два типа внешних потенциалов:

1. Монохроматический потенциал ФК-модели,  $V(\varphi) = -V_0 \cos 2\pi\varphi$ .

2. Двухгармонический потенциал РМГ-модели,  $V(\varphi) = -0.64V_0(\cos 2\pi\varphi + \cos 4\pi\varphi)$ . Значения  $V_0$  выбирались из интервала  $[0.01, 0.09]$ , значения  $N$  — из интервала  $[1, 30]$ . Критические величины параметра несоизмерности (7):  $\delta_{c,(1)} \approx 1.27\sqrt{V_0}$ ,  $\delta_{c,(2)} \approx 1.51\sqrt{V_0}$ . Экспериментально подтвердился результат [7]:  $\frac{\Phi_N}{N} \Big|_{\delta=\delta_c} = \frac{\delta_c}{2}$ ,

Зависимости экспериментальных критических значений  $\tilde{\delta}_c$  от амплитуды внешнего потенциала  $V_0$  для РМГ- и ФК-моделей

(РМГ-модель) $V_0$	0.01	0.02	0.03	0.04	0.05	0.06	0.07	0.08	0.09
$\delta_c = 1.51\sqrt{V_0}$	0.151	0.214	0.262	0.302	0.338	0.370	0.400	0.427	0.453
$\tilde{\delta}_c$	0.149	0.204	0.241	0.264	0.283	0.300	0.316	0.332	0.347
$\tau = \frac{\delta_c - \tilde{\delta}_c}{\tilde{\delta}_c}$	0.013	0.047	0.080	0.112	0.163	0.189	0.21	0.222	0.234
(ФК-модель) $V_0$	0.01	0.02	0.03	0.04	0.05	0.06	0.07	0.08	0.09
$\delta_c = \frac{4}{\pi}\sqrt{V_0}$	0.1273	0.180	0.220	0.255	0.284	0.311	0.336	0.360	0.381
$\tilde{\delta}_c$	0.127	0.178	0.216	0.246	0.271	0.291	0.308	0.323	0.335
$\tau = \frac{\delta_c - \tilde{\delta}_c}{\tilde{\delta}_c}$	0.002	0.011	0.018	0.035	0.046	0.064	0.083	0.103	0.121

$V_0 \ll 1, N \gg 1$ . Но, если в [7] по техническим причинам на графиках  $(\frac{\Phi_N}{N}, \delta)$  не найдены точки начала дислокационных решений, то после использования двойной точности вычислений „double“ они обнаружены.

Результаты экспериментов приведены для РМГ-модели ( $V_0 = 0.01$ ) на рисунке; для ФК-, РМГ-моделей — в таблице.

#### 4. Обсуждение результатов

Выяснилось, что критические точки на графиках  $(\frac{\Phi_N}{N}, \delta)$ ,  $U(\delta)$  смещаются от  $\delta_c$  (7) к  $\tilde{\delta}_c$  в таблице, сдвигаясь в сторону уменьшения интервала соразмерной фазы на величины следующего порядка малости по амплитуде потенциала:  $\Delta\delta_c = \delta_c - \tilde{\delta}_c, \tau = \frac{\Delta\delta_c}{\tilde{\delta}_c} \sim V_0$ .

Различия результатов численных экспериментов дискретных систем и их струнных приближений можно объяснить несколькими причинами:

1. Дискретностью исходной модели (2). 2. Граничными условиями (3). 3. Недостаточно корректным переходом от дискретной системы (2) к струнной модели (5). Основанием для рассмотрения третьего пункта является то, что в (5) некорректно учтена упругая энергия  $N$ -го атома, части которой нет в (2). Если же ее вычесть из (5) компенсационным членом, например  $-q\frac{\phi_N^2}{2}$ , то уравнение связи (7) между параметром несоизмерности  $\delta$  и константой интегрирования  $C$  изменится и будет иметь вид

$$\int_0^1 \sqrt{2(V(\phi) + C)}d\phi - q\phi_N = \delta;$$

$$\frac{U}{N} = \frac{\delta^2}{2} - C - \frac{q\phi_N^2}{2N} = \frac{\delta^2}{2} - C - \frac{\delta^2}{2qN};$$

$$\delta \geq \tilde{\delta}_c; \quad \tilde{\delta}_c \approx \frac{\delta_c}{2}; \quad \left. \frac{1}{a} \right|_{\delta=\delta_c} = \frac{\delta_c}{2}. \quad (13)$$

Таким образом, компенсационный член приводит к изменению основного состояния РМГ-модели, без изменения

в пределе  $N \rightarrow \infty$  плотности ее энергии. Выбранный компенсационный член не позволил полностью объяснить результаты численных экспериментов, а именно, малую величину отклонения критической точки  $\tilde{\delta}_c$  от  $\delta_c$ . Мы предполагаем, что характер поведения параметра порядка точного решения также не претерпит больших изменений и будет соответствовать (9) (или даже скачку параметра порядка в точке  $\tilde{\delta}_c$ ), но для подтверждения этой гипотезы следует провести более значительный объем вычислений с  $N > 100$ .

Основные результаты:

1. Получено доказательство применимости континуального приближения для качественного описания РМГ-модели, количественно ее потенциальная энергия в области несоизмерной фазы не совпадает с (10).

2. Доказана  $P$ -симметрия основного состояния РМГ-модели.

3. Не изменились выводы об основном состоянии и термодинамике [4–8], а также многомерной РМГ-модели [9].

4. Рациональные значения параметров несоизмерности  $\delta = \frac{m}{n}$  с локальными минимумами потенциальной энергии  $U$  рис. 1 (b) соответствуют предсказаниям [4–6] и оценке их минимальной величины  $n_{\max} \approx \delta_c^{-\frac{2}{3}}$ .

5. Для ФК-модели ( $V_0 = 0.04$ ) ширина локального минимума  $U(\delta = 0.5)$  оказалась значительно (в 5 раз) меньше заявленного в [3]. Гипотезы о причинах отклонения теории и эксперимента в этом случае нуждаются в дополнительной экспериментальной проверке.

#### 5. Заключение

1. Риск континуального перехода (2–5) полностью оправдался при описании соразмерных фаз ФК-, РМГ-моделей. Величины  $\tau \sim V_0$  пропорциональны отклонению решений (11) от однородного состояния.

2. Несоразмерные фазы описываются континуальным приближением с точностью значительно хуже  $\tau$ , формулы (6–12) мало соответствуют дискретной действительности.

3. Для непротиворечивого количественного анализа струнным пределом динамических решений ФК-, РМГ-моделей [1,2] к потенциальной энергии (5) следует добавлять компенсационную функцию  $f_{\text{com}}(\varphi_N)$

$$f_{\text{com}}(\varphi_N) = \delta\tau\varphi_N - q\frac{\varphi_N^2}{2} + \dots \quad (14)$$

4. Энергия (14), компенсирующая дискретность и граничные условия, указывает на то, что описание континуальным приближением требует введения поверхностной силы, которая способна кардинально изменить многие результаты [1,2].

Мы считаем более правильным, по аналогии с разобранными выше основными состояниями, изучать возбужденные состояния систем [2] на дискретных моделях с конечным числом частиц с полным учетом граничных условий.

В заключение выражаем глубокую благодарность Е.М. Артемьеву, О.П. Сушкову и участникам семинара А.В. Чаплика за полезное обсуждение работы.

## Список литературы

- [1] Я.И. Френкель, Т. Конторова. ЖЭТФ **8**, 1340, (1938).
- [2] O.M. Braun, Y.S. Kivshar. The Frenkel-Kontorova Model. Springer, Berlin (2004). 536 с.
- [3] В.Л. Покровский, А.Л. Талапов. ЖЭТФ **75**, 1156 (1978).
- [4] А.Н. Филонов. Электронный журнал „Исследовано в России“ **22**, 261 (2008).  
<http://zhurnal.ape.relarn.ru/articles/2008/022.pdf>.
- [5] А.Н. Филонов, Б.С. Добронетц, Л.И. Квеглис. Электронный журнал „Исследовано в России“ **44**, 511 (2008).  
<http://zhurnal.ape.relarn.ru/articles/2008/044.pdf>.
- [6] А. Филонов. Точно решаемые модели с приложениями. LAP LAMBERT Academic Publishing, Moscow (2012). 103 с.
- [7] Б.С. Добронетц, А.Н. Филонов. Журнал СФУ. Математика и Физика, **6**, 3, 279–282 (2013). (Boris S. Dobronets, Aleksandr N. Filonov. J. Siberian Federal University Mathematics & Physics 2013, **6**, 3, 279–282).
- [8] A.N. Filonov, G.M. Zaslavsky. Phys. Lett., **85** A, 237, (1981).
- [9] А.Н. Филонов. Письма в ЖЭТФ **57**, 9, 561 (1993).